

Transporte de Masa

Estimación del coeficiente de transferencia de masa

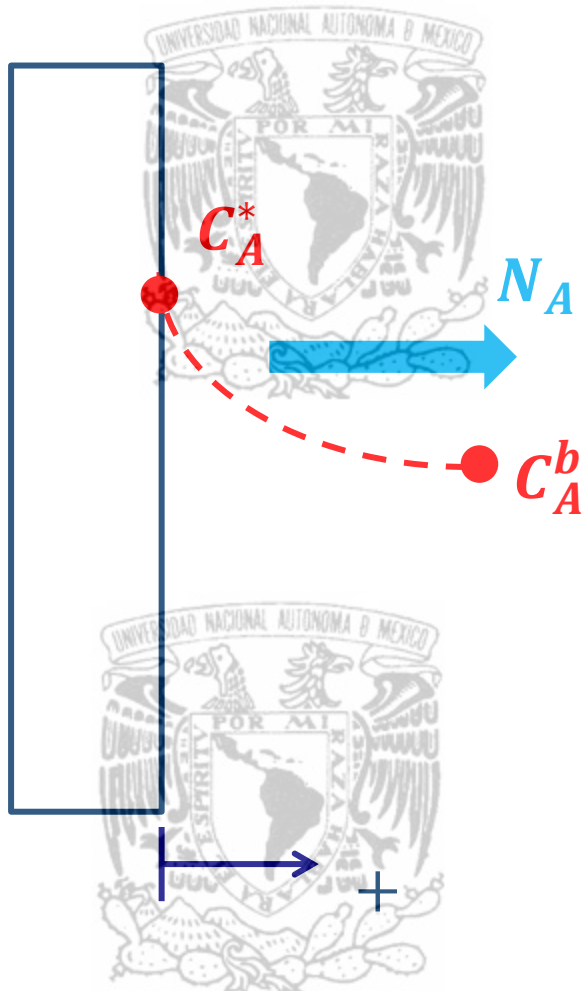
Dr. Bernardo Hernández Morales

Depto. de Ingeniería Metalúrgica
Facultad de Química, UNAM

Semestre 2016-2



- ❖ Para estimar el transporte de materia se propone que el baño líquido está bien agitado, por lo que el gradiente de concentración existe solo en una región cercana a la intercara.



Se propone que el *flux* molar sea proporcional a la diferencia de concentración:

$$N_A \propto \Delta C_A$$



$$N_A = + k_A \Delta C_A$$

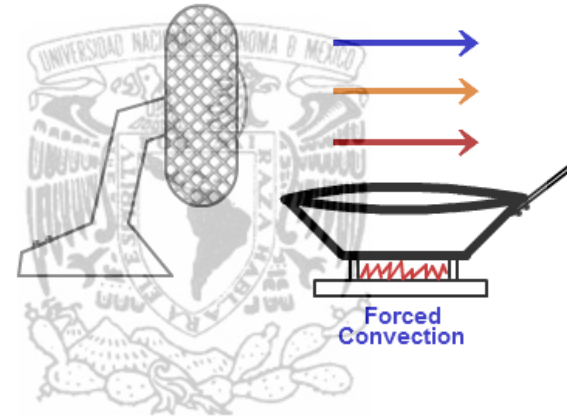
$$\Delta C_A = (C_A^* - C_A^b)$$



¡ La flecha te ayudará a escribir bien ΔC_A !

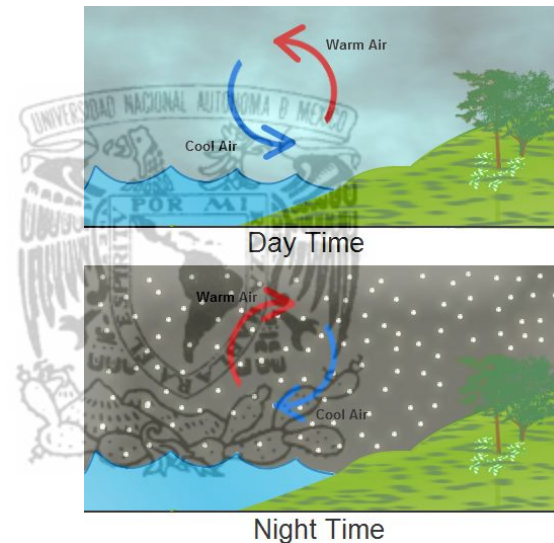
- Convección forzada
 - Flujo laminar
 - Flujo turbulento

$$Sh = f(Re, Sc)$$



- Convección natural
 - Flujo laminar
 - Flujo turbulento

$$Sh = f(Gr_M, Sc)$$



- ❖ **Existen varios métodos para estimar al coeficiente de transferencia de masa**
 - **A partir de soluciones analíticas**
 - **A partir de correlaciones empíricas**
 - **A partir de los modelos simplificados de transporte de masa**
 - **Teoría de película**
 - **Teoría de penetración**
 - **A partir de analogías con otros fenómenos de transporte**

- ❖ A diferencia de propiedades tales como la viscosidad, la conductividad térmica y el coeficiente de difusión, el coeficiente de transferencia de masa no es una cantidad que dependa únicamente del fluido o sólido y de las condiciones de operación.
- ❖ Para calcular el coeficiente de transferencia de masa promedio a partir del coeficiente de transferencia de masa local se aplica el teorema del valor medio de la integral:

$$\overline{k_A} = \frac{\int_0^L k_{A,x} dx}{\int_0^L dx} \quad (\text{para una placa})$$

Tipos de flujo de un fluido

Flujo laminar



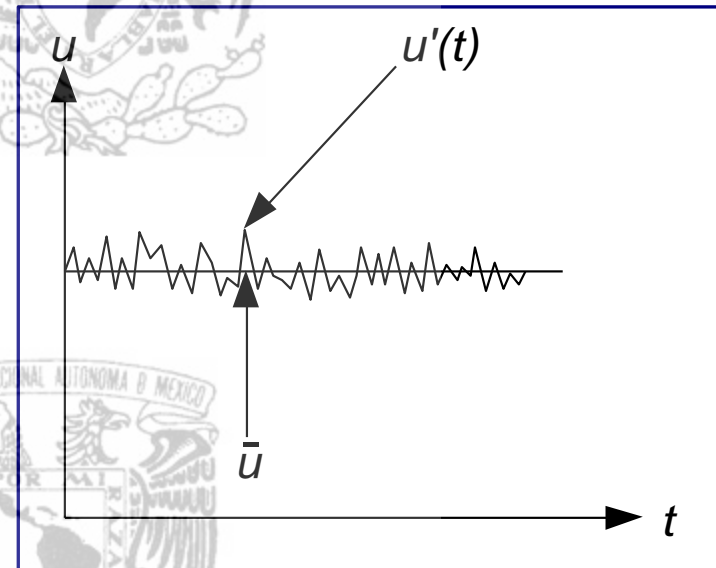
<http://www.pbase.com>

Flujo turbulento



<http://www.britannica.com/EBchecked/topic/609625/turbulent-flow>

Velocidad en una posición fija
(flujo turbulento)



➤ **Convección forzada**

- Las ecuaciones de transporte de momentum y de transporte de masa pueden resolverse independientemente. Un ejemplo de los resultados es:

$$Sh_x = 0.332(Re_x)^{1/2}(Sc)^{1/3}$$

➤ **Convección natural (libre)**

- Las ecuaciones de transporte de momentum y de transporte de masa deben resolverse simultáneamente. Un ejemplo de los resultados es:

$$Sh_x = \frac{0.902(Sc)^{1/3}}{(0.861 + Sc)^{0.25}} \left(\frac{Gr_x}{4} \right)^{1/4}$$

- Se realizan experimentos cuyo diseño se apoya en la forma funcional de los números adimensionales relevantes para el sistema, para construir correlaciones empíricas

Por ejemplo: Los resultados de Bedingfield y Drew (1950)

Experimento: Sublimación de un cilindro sólido en aire que fluye perpendicularmente al eje del cilindro

Correlación experimental:

$$\frac{k_G P}{G_M} = 0.281 Re^{-0.4} Sc^{-0.56} \quad 400 < Re < 25000, \quad 0.6 < Sc < 2.6$$

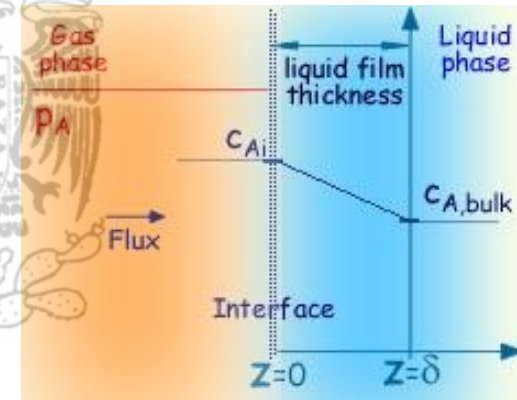
P es la presión total

G_M es la velocidad molal del gas

La longitud característica es el diámetro del cilindro

❖ Teoría de película (para control en una sola fase). Lewis and Whitman (1924).

- Un gas puro (componente A) se absorbe en un líquido no volátil
- El modelo consiste en imaginar una película delgada de líquido (cercana a la intercara) que está completamente quieta o en flujo laminar
- No hay resistencia al transporte de masa en la fase gaseosa
- En la intercara, el equilibrio está definido por la Ley de Henry: $C_{Ai} = H_A p_A$
- Las moléculas de A que se transportan a través de la película continúan su transporte hacia el seno de la fase líquida (que mantiene su concentración constante)



<http://www.hyper-tvt.ethz.ch/fundamentals-masstransfer-filmmodel.php>

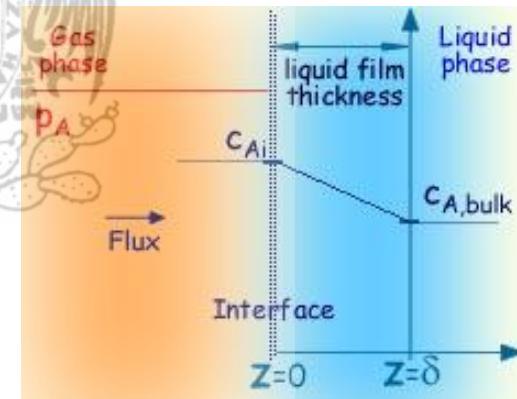


Modelos simplificados

❖ Teoría de película (para control en una sola fase)

Suposiciones (características)

- El transporte de masa ocurre en estado estacionario
- El flujo de materia es 1D (dirección z)
- El transporte de masa ocurre por difusión a través de la película
- El *flux* de materia es bajo y la concentración de A en el líquido es baja



❖ Teoría de película (para control en una sola fase)

Ecuación gobernante:

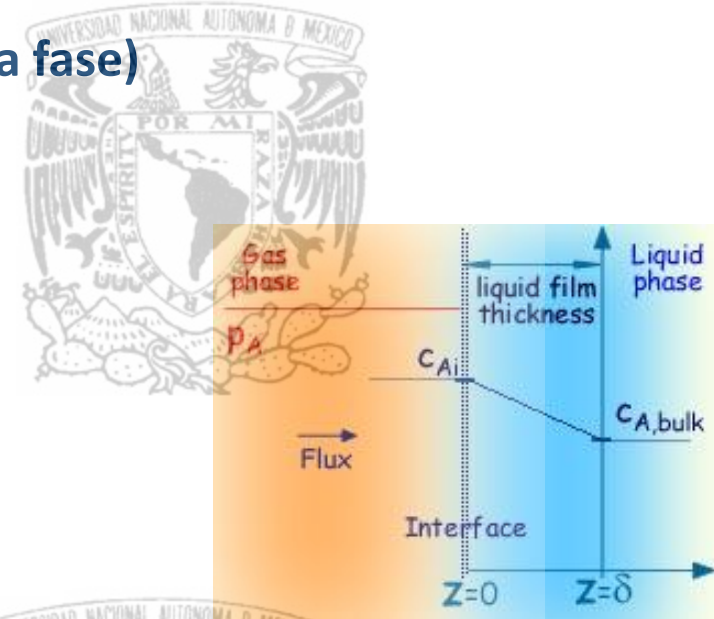
$$-\frac{dN_{A,z}}{dz} = 0, \quad 0 \leq z \leq \delta$$

$$-\left(-D_A \frac{dC_A}{dz}\right) = 0, \quad 0 \leq z \leq \delta$$

C.F.1 : en $z = 0$ $C_A = C_{Ai}$

C.F.2 : en $z = \delta$ $C_A = C_{A,bulk}$

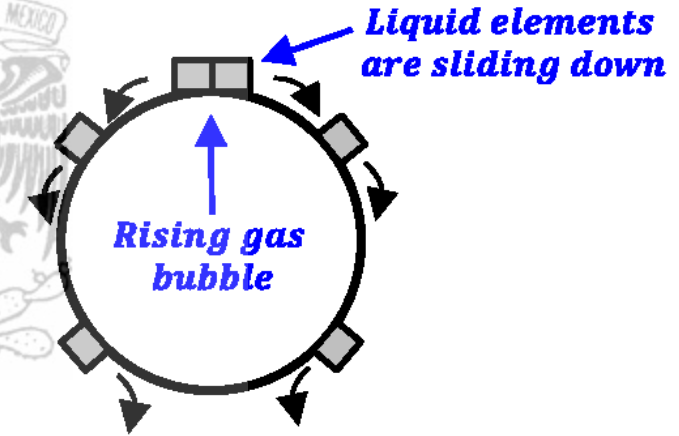
$$N_{A,z} = -D_A \frac{(C_{A,bulk} - C_{Ai})}{\delta}$$



$$k_A = \frac{D_A}{\delta} \leftarrow \text{ficticia}$$

❖ Teoría de penetración. Higbie (1935).

- Una burbuja asciende en un líquido, absorbiendo al soluto
- El modelo consiste en imaginar elementos individuales de líquido que resbalan por la superficie de la burbuja en flujo laminar
- Cada elemento está en contacto con la burbuja un tiempo corto (que es igual para todos los elementos)
- En la intercara, el equilibrio está definido por la Ley de Henry: $C_{Ai} = H_A p_A$
- Las moléculas de A que se transportan a través de la película continúan su transporte hacia el seno de la fase líquida (que mantiene su concentración constante)



<http://www.intechopen.com/books/mass-transfer-advancement-in-process-modelling/mass-transfer-in-multiphase-systems>

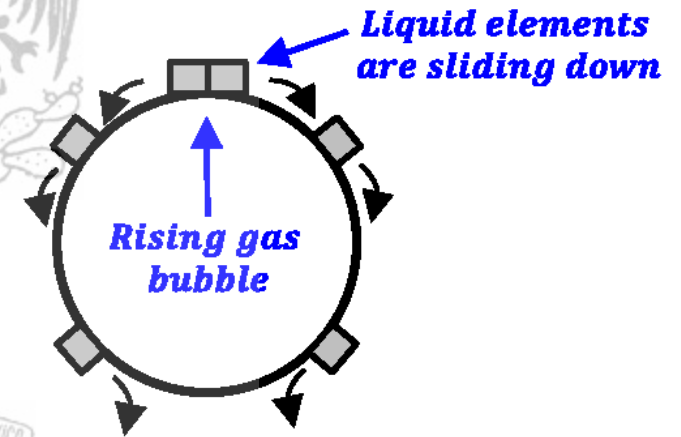


Modelos simplificados

❖ Teoría de penetración

Suposiciones (características)

- El transporte de masa ocurre en estado no estacionario
- El flujo de materia es 1D (dirección r)
- El transporte de masa ocurre por difusión a través de la película
- Cada elemento líquido se comporta como un medio semi-infinito
- El *flux* de materia es bajo y la concentración de A en el líquido es baja



Modelos simplificados

❖ Teoría de penetración

Ecuación gobernante:

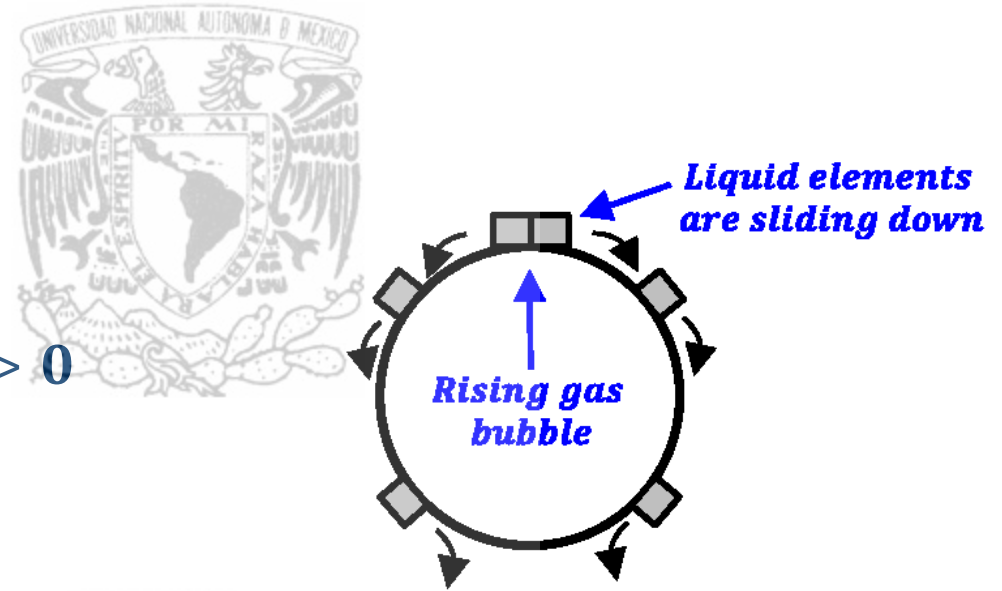
$$-\frac{\partial N_{A,z}}{\partial y} = \frac{\partial C_A}{\partial t}, \quad 0 \leq y < \infty, t > 0$$

C.F.1: en $y = 0$ $C_A = C_{A,0}$

C.F.2: en $y \rightarrow \infty$ $C_A = C_{A,b}$

C.I.: cuando $t = 0$ $C_A = C_{A,b}$

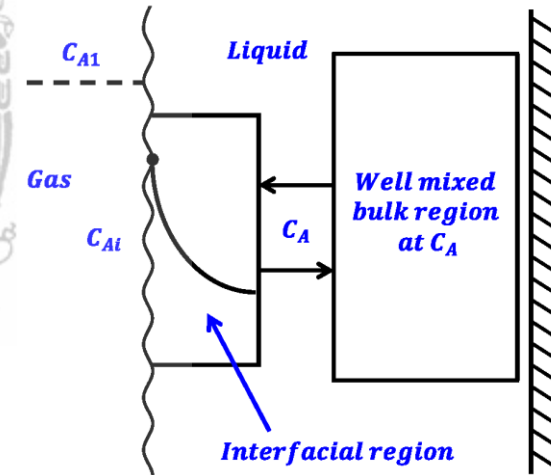
$$N_{A,z} = 2(C_{A,bulk} - C_{Ai}) \left(\frac{D_A}{\pi t_e} \right)^{1/2}$$



$$k_A = 2 \left(\frac{D_A}{\pi t_e} \right)^{1/2}$$

❖ Teoría de renovación de la superficie. Danckwerts (1950).

- El modelo consiste en imaginar al líquido como formado por dos regiones: a) una región grande, bien mezclada, y b) una región cercana a la intercara, en la que ocurre la transferencia de masa
- La región cercana a la intercara se renueva tan rápidamente, que se comporta como una película gruesa
- En la intercara, el equilibrio está definido por la Ley de Henry: $C_{Ai} = H_A p_A$
- Las moléculas de A que se transportan a través de la película gruesa continúan su transporte hacia el seno de la fase líquida (que mantiene su concentración constante) y viceversa



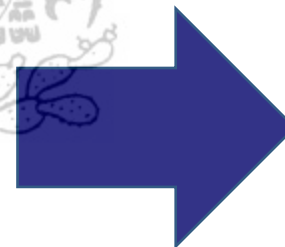
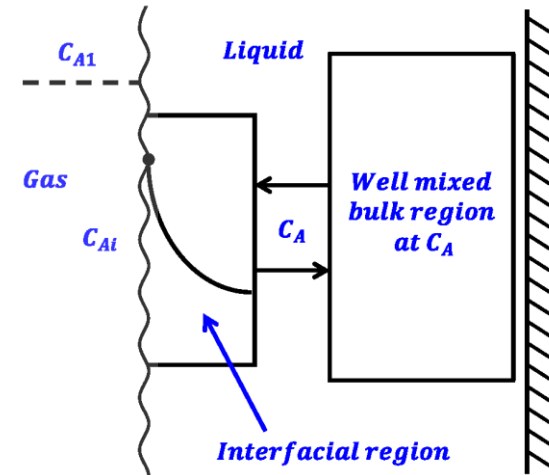
<http://www.intechopen.com/books/mass-transfer-advancement-in-process-modelling/mass-transfer-in-multiphase-systems>

Modelos simplificados

❖ Teoría de renovación de la superficie

Suposiciones (características)

- Flujo turbulento
- Estado no estacionario
- Los elementos en la intercara son substituidos por otros de manera aleatoria
- En un instante dado, cada elemento tiene la misma probabilidad de ser substituido
- El flujo de materia es 1D (dirección r)
- El *flux* de materia es bajo y la concentración de A en el líquido es baja



$$k_A = 2(D_A s)^{1/2}$$

❖ Se basan en hipótesis acerca de los mecanismos, no son leyes físicas

➤ **Hipótesis: Los transportes de momentum, de energía y de materia son similares bajo ciertas condiciones. Las condiciones son:**

➤ **No hay reacción que “genere” calor o materia**

➤ **No hay radiación**

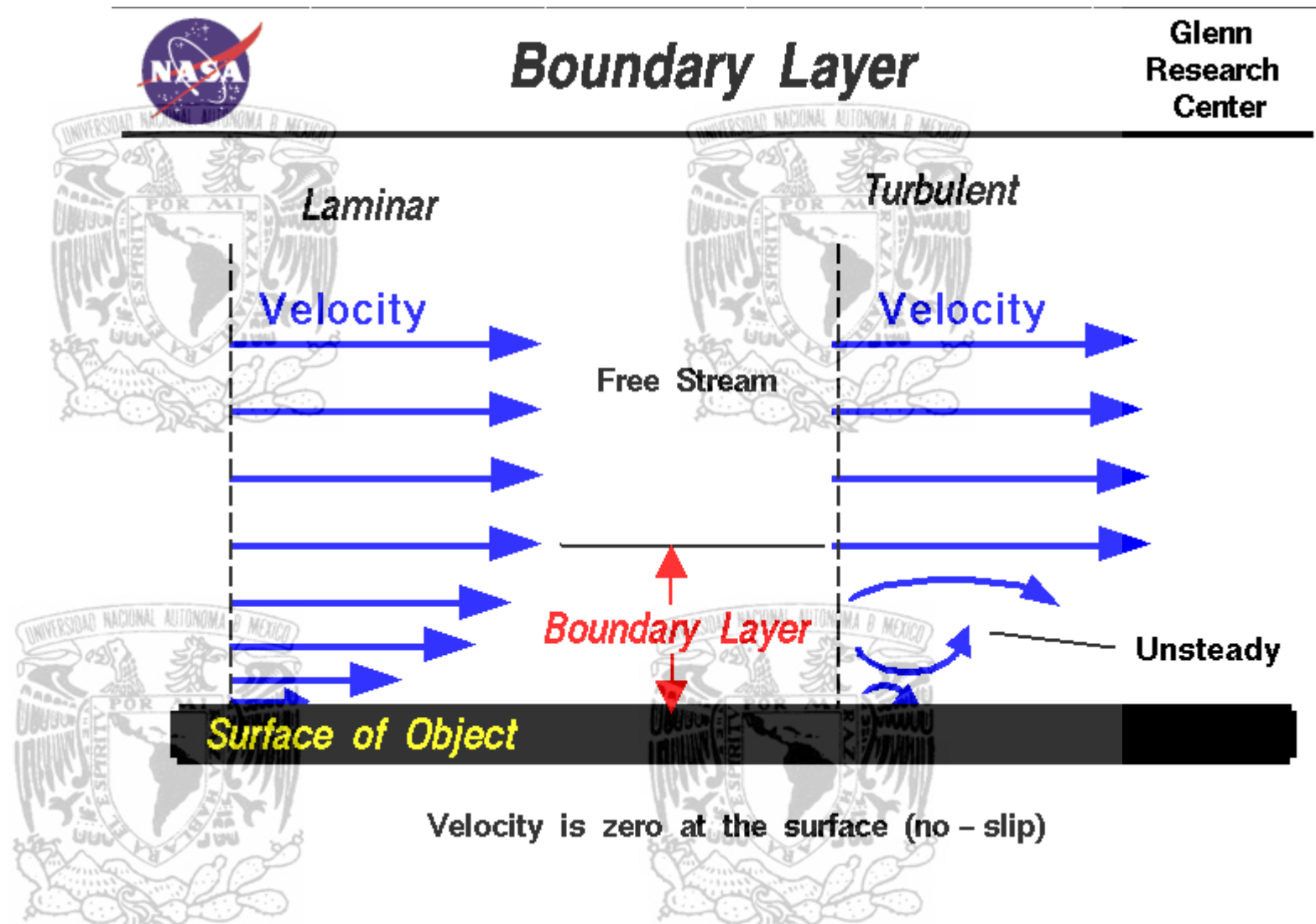
➤ **No hay disipación viscosa (que solo ocurre a altas velocidades)**

➤ **La rapidez de transferencia de materia es baja**

➤ **Debido a esto, el perfil de velocidad no se ve modificado por la transferencia de masa**

➤ **Las propiedades físicas son constantes**

❖ Solo aplican para flujo paralelo a placas o dentro de tuberías



Boundary Layer

Glenn
Research
Center

Surface of Object

Velocity is zero at the surface (no - slip)

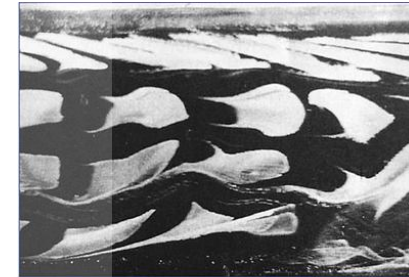
<https://www.grc.nasa.gov/www/k-12/airplane/boundlay.html>

- ❖ Considera una única zona (turbulenta)

Aplica para momentum y energía, si $Pr = 1$

$$\frac{\bar{h}}{\rho v_{\infty} C_p} = St = \frac{f}{2}$$

$$St = \frac{Nu}{Re Pr}$$



Turbulent flow in a rectangular duct

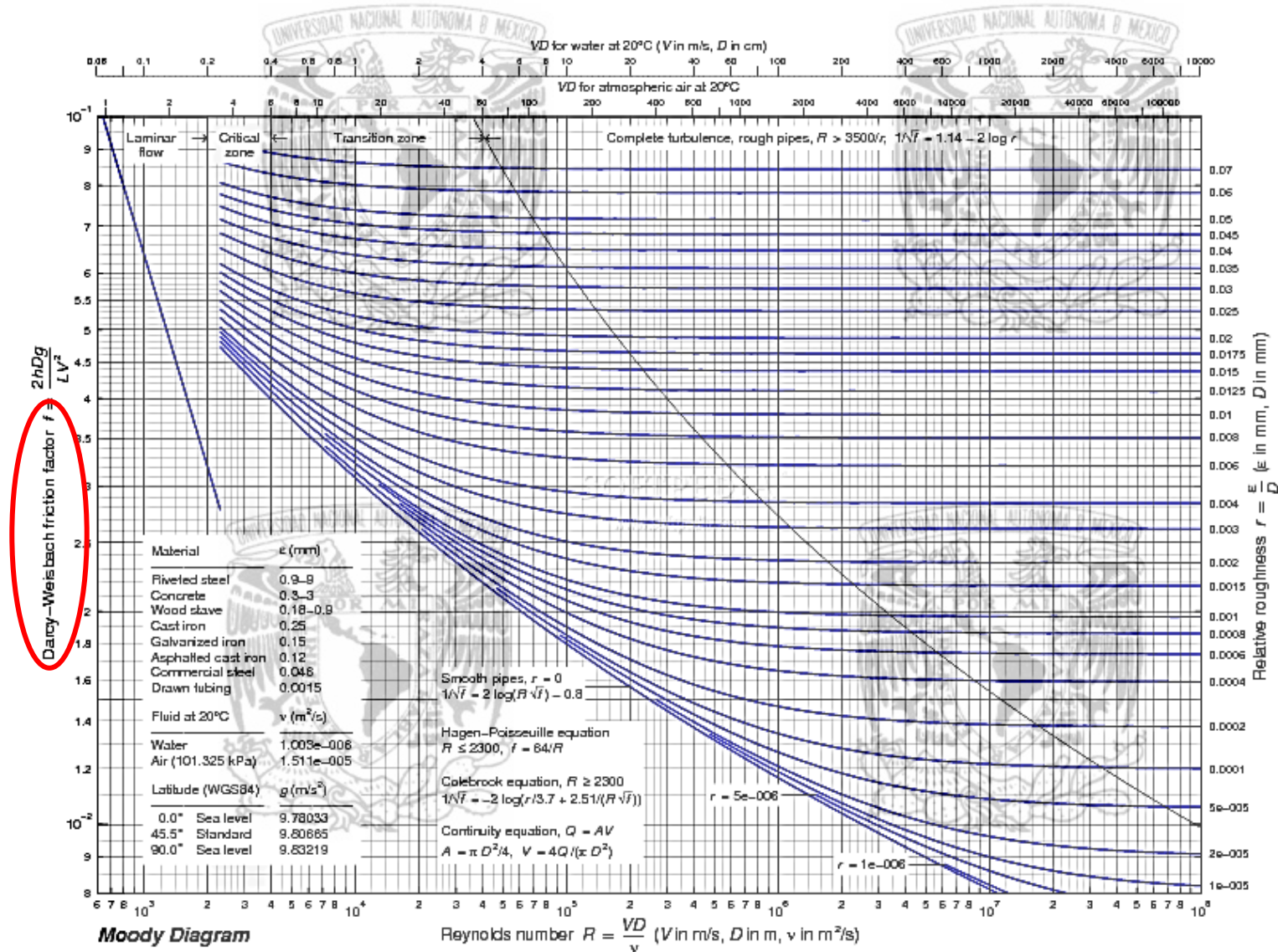


Aplica para momentum y materia, si $Sc = 1$

$$\frac{\bar{k}_A}{v_{\infty}} = St_M = \frac{f}{2}$$

- ❖ f es el factor de fricción de fanning
- ❖ Solo funciona correctamente para flujo turbulento

Gráfica de Moody

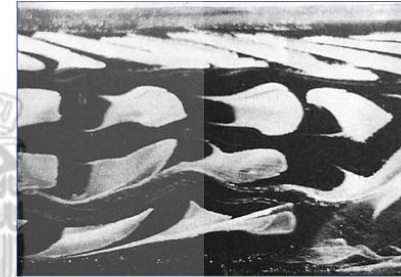


❖ Considera una subcapa laminar y el resto turbulento



Para momentum y energía:

$$Nu = \frac{(f/2) Re Pr}{1 + 5\sqrt{f/2}(Pr - 1)}$$



Turbulent flow in a rectangular duct

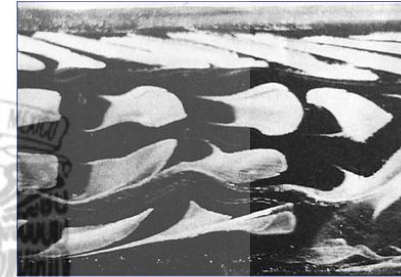


Para momentum y materia:

$$Sh = \frac{(f/2) Re Sc}{1 + 5\sqrt{f/2}(Sc - 1)}$$



- ❖ Considera una capar amortiguadora ente la subcapa laminar y el centro turbulento



Turbulent flow in a rectangular duct

Para momentum y energía:

$$Nu = \frac{(f/2) Re Sc}{1 + 5\sqrt{f/2}\{Pr - 1 + \ln[(1 + 5 Pr)/6]\}}$$

Para momentum y materia:

$$Sh = \frac{(f/2) Re Sc}{1 + 5\sqrt{f/2}\{Sc - 1 + \ln[(1 + 5 Sc)/6]\}}$$

❖ Es una relación empírica basada en la analogía de Reynolds

- Funciona para gases y líquidos
- Flujo al interior de tubos lisos
- $Re > 10,000$

Para momentum y energía ($0.7 < Pr < 160$)

$$j_H = \frac{f}{2}$$

$$j_H = \frac{\bar{h}}{C_p G} \left(\frac{C_p \mu}{k} \right)_f = St Pr^{2/3}$$

Para momentum y materia ($0.7 < Sc < 160$)

$$j_M = \frac{f}{2}$$

$$j_M = \frac{\bar{k}_A}{v} (Sc)^{2/3} = St_M Sc^{2/3}$$

❖ Es una relación empírica basada en la analogía de Reynolds

- Funciona para gases y líquidos
- Flujo al interior de tubos lisos
- $Re > 10,000$

Para momentum y energía ($0.7 < Pr < 160$)

$$j_H = \frac{f}{2}$$

$$j_H = \frac{\bar{h}}{C_p G} \left(\frac{C_p \mu}{k} \right)_f = St Pr^{2/3}$$

Para momentum y materia ($0.7 < Sc < 160$)

$$j_M = \frac{f}{2}$$

$$j_M = \frac{\bar{k}_A}{v} (Sc)^{2/3} = St_M Sc^{2/3}$$

- ❖ Factor j_M como función del número de Reynolds para la disolución de esferas de uranio en cadmio líquido

